



[8]. لای و همکاران [9] شرایط تکیه‌گاهی در یک تیر را با فترهای پیچشی و انتقالی جایگزین کرده و از یک روش عددی برای استخراج فرکانس‌ها استفاده کردند. این عمل فرکانس‌های طبیعی را نسبت به تکیه‌گاه کلاسیک به طور محسوسی تغییر داده و نشان می‌داد برای شناسایی رفتار دقیق تیرها، استفاده از شرایط تکیه‌گاهی الاستیک ضروری می‌نماید.

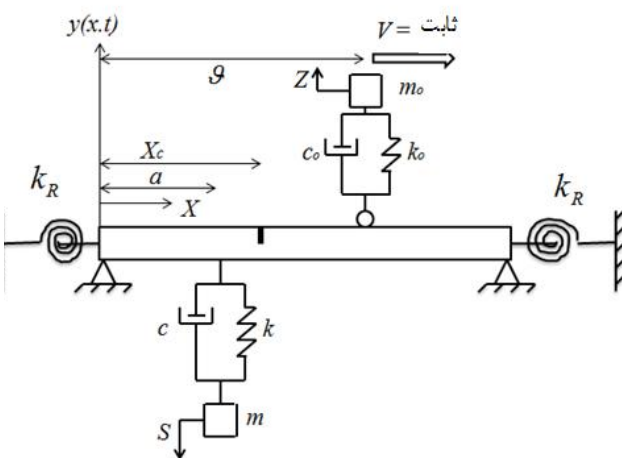
در تحقیق حاضر، یک تیر اولیه- برنولی دارای شرایط تکیه‌گاهی الاستیک متقارن در نظر گرفته شده است. پاسخ دینامیکی تیر تحت اثر حرکت یک نوسانگر یک درجه آزادی با سرعت ثابت استخراج شده و سپس تأثیر افزودن جاذب بر کاهش دامنه ارتعاشات بررسی شده و برای تعیین پارامترهای بهینه جاذب از یک الگوریتم عددی جستجوی پارامترها استفاده شده است. سپس تأثیر وقوع ترک بر پاسخ دینامیکی تیر دارای جاذب بهینه تحت اثر نوسانگر متحرک بررسی شده است. ارتعاشات آزاد تیر ترک دار دارای تکیه‌گاه الاستیک و همچنین پاسخ دینامیکی تیر (با و یا بدون ترک) دارای تکیه‌های الاستیک تحت اثر نوسانگر متحرک تاکنون بررسی نشده است. بررسی تغییر ساختار تیر ناشی از وقوع ترک بر عملکرد جاذب نیز موضوع جدیدی است که تاکنون مورد توجه محققین قرار نگرفته و در این مقاله برای نخستین بار به آن پرداخته شده است.

## 2- معادلات حاکم بر سیستم

سامانه تیر، تحریک‌کننده و جاذب در شکل 1 نشان داده شده است. در این شکل یک تیر به طول  $L$  دارای تکیه‌گاه‌های الاستیک تحت تأثیر نوسانگر متحرک به جرم  $m_0$  قرار دارد که با سرعت ثابت  $V$  روی تیر حرکت می‌کند. یک جاذب ارتعاشات در مکان  $x = a$  روی قرار گرفته است و همچنین در مکان  $x_c$  یک ترک در تیر قرار دارد.

با توجه به وقوع ترک در تیر، تیر در محل ترک به دو قسمت تقسیم می‌شود. با استفاده از فرض تیر اولیه- برنولی معادلات حرکت در هر قسمت از تیر به صورت رابطه (1) بدست می‌آید:

$$EI \frac{\partial^4 y_j(x,t)}{\partial x^4} + \rho A \frac{\partial^2 y_j(x,t)}{\partial t^2} = [k_o(z - y_j(\theta, t)) + c_o(\dot{z} - \dot{y}_j(\theta, t)) - m_0 g] \delta(x - \theta) H(L - \theta), \quad j = 1, 2 \quad (1)$$



شکل 1 تیر دارای تکیه‌گاه‌های الاستیک، ترک و جاذب ارتعاشات تحت اثر نوسانگر متحرک یک درجه آزادی

ها. ترک چنان‌چه در مراحل ابتدایی پیدایش شناسایی نشود و اقدامات لازم برای رفع آن صورت نپذیرد می‌تواند سبب تخریب پل شود.

در رابطه با کنترل و حذف ارتعاشات ناخواسته در تیرها تحقیقات متنوعی انجام شده است. روش‌های کنترلی به کار رفته در دو دسته کلی غیرفعال و فعال قرار می‌گیرند. در روش کنترل غیرفعال، از جاذبهای تشکیل‌شده از جرم، فتر و دمپر استفاده می‌شود. این جاذبهای چنان‌چه به طور بهینه طراحی و استفاده شوند، می‌توانند به میزان قابل توجهی از دامنه ارتعاشات سیستم بکاهد. این جاذب‌ها به دلیل هزینه کم در ساخت و تعمیر و نگهداری می‌توانند به صورت مؤثر مورد استفاده قرار گیرند. یکی از عیوب جاذبهای ارتعاشی این است که با تغییر در تحریک وارد بر سیستم اگر جاذب توانایی تطبیق خود با این تغییر را نداشته باشد نه تنها ممکن است جاذب کارایی خود را از دست دهد، حتی امکان دارد سبب افزایش ارتعاشات نیز شود. در روش کنترل فعال، سیستم برای تنظیم پارامترهای خود نیاز به یک منع پیوسته انرژی دارد. از معایب این روش می‌توان به مصرف بالای انرژی، هزینه‌های بالای تجهیزات و تعمیرات و نگهداری آن‌ها و پیچیدگی تجهیزات اشاره کرد. در رابطه با استفاده و طراحی بهینه جاذب ارتعاشات تیرها تحقیقات مختلفی انجام گرفته است. وانگ و همکاران [1] استفاده از جاذب را در پل راه‌آهن تایوان تحت تأثیر قطارهای سرعت بالا مورد بررسی قرار دادند، نتایج تحقیق آن‌ها حاکی از کارایی مناسب جاذب در کاهش ارتعاشات عمودی پل در سرعت بحرانی حرکت قطارها بود. مرادی و همکاران [2] ابزار بورینگ<sup>1</sup> در ماشین کاری را با استفاده از یک تیر مدل کرده و نشان دادند استفاده از جاذب بهینه، ارتعاشات خود تحریک را کاهش داده و حد پایداری را افزایش می‌دهد. عیسی [3] با استفاده از روش‌های برآش ریاضی یک رابطه تحلیلی تقریبی برای مقادیر بهینه پارامترهای جاذب ارتعاشات یک

تیر دو سر مفصل تحت تأثیر بار متحرک دارای دامنه ثابت استخراج کرد. وقوع ترک در تیرها از موارد غیرقابل اجتناب است که معمولاً در اثر اعمال بارهای تناوبی به وجود می‌آید. شبیه‌سازی رفتار ترک در حین ارتعاش تیر به دو صورت انجام می‌پذیرد، در دیدگاه نخست ترک همواره به صورت باز باقی می‌ماند و در دیدگاه دوم ترک در زمان ارتعاش تیر به صورت تناوبی باز و بسته می‌شود [4]. یکی از روش‌های مرسوم در مدل‌سازی ترک باز در تیرها استفاده از افزایش انعطاف‌پذیری موضعی در محل ترک است که با یک فتر بدون جرم در محل ترک شبیه‌سازی می‌شود. سفتی این فتر با استفاده از روابط مکانیک شکست تعیین می‌شود [5]. این مدل ترک، در لوله‌های جدار ضخیم ترک دار حاوی سیال [6] و تیرهای ترک دار دورانی با سطح مقطع متغیر [7] با موفقیت کار رفته است. عدمه تحقیقاتی که در زمینه ارتعاشات تیر دارای ترک انجام شده است، برای استفاده از نتایج آنالیز ارتعاشی در تعیین و شدت محل ترک انجام شده، زیرا رفتار دینامیکی تیر پیش و پس از وقوع ترک متفاوت است.

در سال‌های اخیر بررسی ارتعاشات تیرهای دارای شرایط تکیه‌گاهی غیر-کلاسیک مورد توجه زیادی قرار گرفته است. در شرایط تکیه‌گاهی کلاسیک در هر تکیه‌گاه مقدار دو پارامتر از پارامترهای جابه‌جایی، شبیه، ممان خمی و نیروی برشی برابر صفر در نظر گرفته می‌شود. محققان معتقدند که شرایط تکیه‌گاهی کلاسیک در عمل قابل پیاده‌سازی نیست و هیچ‌گاه نمی‌توان مقادیر شبیه یا جابه‌جایی را در یک تکیه‌گاه به صفر مطلق رساند و همواره مقداری شبیه یا جابه‌جایی هر چند کوچک در تکیه‌گاه‌ها وجود دارد

برای بی بعدسازی متغیرهای مکانی، متغیرهای زیر را تعریف می کنیم:

$$\tilde{y}_j = \frac{y_j}{L}, \quad \tilde{x} = \frac{x}{L} \quad (8)$$

همچنین برای تبدیل معادله دیفرانسیل با مشتقات جزئی در رابطه (7) به معادله دیفرانسیل معمولی از جداسازی متغیرها به صورت رابطه (9) استفاده می کنیم:

$$\tilde{y}_j(\tilde{x}, t) = \tilde{y}_j(\tilde{x}) \exp(i\omega t) \quad (9)$$

در نهایت معادله ارتعاشات آزاد با استفاده از روابط (8) و (9) به صورت رابطه (10) نوشته می شود:

$$\begin{aligned} \frac{d^4 \tilde{y}_1}{d\tilde{x}^4} - \frac{\rho A L^4 \omega^2}{EI} \tilde{y}_1 &= 0, \quad 0 < \tilde{x} < \tilde{x}_c \\ \frac{d^4 \tilde{y}_2}{d\tilde{x}^4} - \frac{\rho A L^4 \omega^2}{EI} \tilde{y}_2 &= 0, \quad \tilde{x}_c < \tilde{x} < 1 \end{aligned} \quad (10)$$

با استفاده از متغیرهای بدون بعد ارائه شده در رابطه (8) شرایط تکیه گاهی تیر به صورت رابطه (11) در می آیند:

$$\tilde{y}_1(0) = \tilde{y}_2(1) = 0$$

$$\begin{aligned} \frac{d^2 \tilde{y}_1}{d\tilde{x}^2}(0) - K \frac{d\tilde{y}_1}{d\tilde{x}}(0) &= 0 \\ \frac{d^2 \tilde{y}_2}{d\tilde{x}^2}(1) + K \frac{d\tilde{y}_2}{d\tilde{x}}(1) &= 0 \end{aligned} \quad (11)$$

$$K = \frac{k_R L}{EI} \quad (12)$$

همچنین با استفاده از متغیرهای رابطه (8) شرایط سازگاری در محل ترک به صورت رابطه (13) نوشته می شوند:

$$\begin{aligned} y_1(\tilde{x}_c) &= y_2(\tilde{x}_c), \\ y_1''(\tilde{x}_c) &= y_2''(\tilde{x}_c), \\ y_1'''(\tilde{x}_c) &= y_2'''(\tilde{x}_c), \\ y_2'(\tilde{x}_c) - y_1'(\tilde{x}_c) &= \frac{h}{L} f(\alpha) y_2''(\tilde{x}_c) \end{aligned} \quad (13)$$

معادلات (10) دارای حل به صورت روابط (14-15) است:

$$\begin{aligned} \tilde{y}_j &= A_j \cos(\lambda \tilde{x}) + B_j \sin(\lambda \tilde{x}) \\ &\quad + C_j \cosh(\lambda \tilde{x}) + D_j \sinh(\lambda \tilde{x}) \end{aligned} \quad (14)$$

$$\lambda^4 = \frac{\rho A \omega^2 L^4}{EI} \quad (15)$$

برای تعیین ۹ پارامتر مجهول  $A_1, A_2, \dots$  و  $\lambda$  به جای هر مقدار  $K$ ، از چهار معادله مربوط به شرایط تکیه گاهی در رابطه (11)، چهار معادله مربوط به شرایط سازگاری در محل ترک در رابطه (13) و همچنین از معادله (16) برای نرمال سازی شکل مودها استفاده می کنیم [11]:

$$\int_0^1 \tilde{y}_N(\tilde{x}) \tilde{y}_M(\tilde{x}) d\tilde{x} = \begin{cases} 1 & N = M \\ 0 & N \neq M \end{cases} \quad (16)$$

زمانی که ترک در تیر وجود ندارد، معادله (17) برای تعیین  $\lambda$  به دست می آید که از حل آن به جای مقادیر مختلف  $K$  مقادیر ویژه استخراج می شوند:

در  $x_c < x < 0$  اندیس  $j = 1$  انتخاب می شود و در محدوده مختصات

طولی  $x_c < x < L$  اندیس  $j = 2$  در نظر گرفته می شود. در رابطه (1) مقطع، چگالی، سطح مقطع، خیز تیر و مختصات مستقل برای جایه جایی جرم نوسانگر است.تابع دلتای دیراک برای نشان دادن موقعیت نوسانگر در هر لحظه از زمان روی تیر و تابع پله واحد برای نشان دادن مدت زمان اثر نوسانگر بر تیر به کار رفته اند.

پارامتر  $\theta$  که برای بیان موقعیت نوسانگر به کار رفته است، با رابطه (2) با سرعت نوسانگر و زمان ارتباط دارد.

$$\theta = Vt \quad (2)$$

با توجه به تأثیر جاذب در دینامیک سیستم باید اثر آن را نیز در معادلات وارد کرد. با توجه به تقسیم شدن تیر در اثر وجود ترک در هر ناحیه ای که جاذب قرار می گیرد باید عبارت (3) را به سمت راست رابطه در آن ناحیه اضافه کرد.

$$[k(s - y_j(x, t)) + c(\dot{s} - \dot{y}_j(x, t))] \delta(x - a) \quad (3)$$

در رابطه (3)،  $S$  مختصات مستقل برای جایه جایی جرم جاذب است. برای تیر نشان داده شده در شکل ۱ شرایط مرزی به صورت رابطه (4) است.

$$y_1(0, t) = y_2(L, t) = 0$$

$$\frac{\partial^2 y_1}{\partial x^2}(0, t) - \frac{k_R}{EI} \frac{\partial y_1}{\partial x}(0, t) = 0$$

$$\frac{\partial^2 y_2}{\partial x^2}(L, t) + \frac{k_R}{EI} \frac{\partial y_2}{\partial x}(L, t) = 0 \quad (4)$$

که  $k_R$  ثابت فرهرای پیچشی تکیه گاه است. همچنین در محل ترک که تیر به دو بخش تقسیم می شود، روابط سازگاری به صورت رابطه (5) نوشته می شوند:

$$y_1(x_c, t) = y_2(x_c, t)$$

$$y_1''(x_c, t) = y_2''(x_c, t)$$

$$y_1'''(x_c, t) = y_2'''(x_c, t)$$

$$y_2'(x_c, t) - y_1'(x_c, t) = h f(\alpha) y_2''(x_c, t) \quad (5)$$

در رابطه (5)،  $f(\alpha)$  انعطاف پذیری مقطعی بی بعد در محل ترک و ارتفاع تیر است.  $f(\alpha)$  با استفاده از روابط مکانیک شکست به صورت رابطه (6) به دست می آید [10]:

$$\begin{aligned} f(\alpha) &= 2 \left( \frac{\alpha}{1-\alpha} \right)^2 (5.93 - 19.69\alpha \\ &\quad + 37.14\alpha^2 - 35.64\alpha^3 + 13.12\alpha^4) \end{aligned} \quad (6)$$

$\alpha$  به صورت نسبت عمق ترک به ارتفاع تیر تعریف می شود.

### 3- ارتعاشات آزاد

برای تعیین فرکانس های طبیعی و تابع شکل مود تیر مورد بررسی نیروهای خارجی مؤثر به تیر نظیر تحریک نوسانگر و اثر جاذب برابر با صفر قرار داده می شوند. در نتیجه معادلات حاکم به صورت رابطه (7) در می آیند:

$$j = 1, 2 \quad EI \frac{\partial^4 y_j(x, t)}{\partial x^4} + \rho A \frac{\partial^2 y_j(x, t)}{\partial t^2} = 0, \quad (7)$$

$$\begin{aligned} m_o \ddot{z} + c_o (\dot{z} - \sum_r \phi_r(\theta) \dot{q}_r) \\ + k_o (z - \sum_r \phi_r(\theta) q_r) = 0, \end{aligned} \quad (25)$$

$$\begin{aligned} m \ddot{s} + c (\dot{s} - \sum_r \phi_r(a) \dot{q}_r) \\ + k (s - \sum_r \phi_r(a) q_r) = 0 \end{aligned} \quad (26)$$

از دستگاه معادلات دیفرانسیل بالا مشاهده می‌شود که معادلات به یکدیگر وابسته بوده و همچنین به دلیل وابستگی مکان نوسانگر به زمان معادلات دیفرانسیل دارای ضایعات متغیر با زمان نیز است. حل این دستگاه معادلات دیفرانسیل از طریق تحلیلی میسر نیست و باید از روش‌های عددی برای استخراج پاسخ استفاده شود. برای استفاده از روش‌های عددی معادلات باید کاهش مرتبه داده شوند که این مسئله مستلزم انتقال معادلات دیفرانسیل به معادلات فضای حالت است. زمانی که  $n$  شکل مود از ارتعاشات تیر را در نظر می‌گیریم، معادلات منجر به  $n+2$  معادله مرتبه دو وابسته به یکدیگر می‌شوند که در تبدیل به معادلات فضای حالت به  $2n+4$  معادله درجه یک افزایش داده می‌شوند که حل عددی این  $2n+4$  معادله را می‌توان با استفاده از نرم‌افزارهای موجود نظریه مطلب به دست آورد. زمانی که ترک در تیر استفاده از دهد، معادلات کماکان قابل استفاده هستند با این تفاوت که باید از فرکانس‌های طبیعی، توابع شکل مود و جرم عمومی تیر دارای ترک در نواحی که به وسیله ترک جدا شده‌اند متفاوت هستند، برای استخراج پاسخ دینامیکی تیر دارای ترک باید توابع شکل مود را نیز به صورت متغیر با زمان در معادلات وارد کنیم. به این صورت که با توجه به محل اثر نوسانگر از توابع شکل مود همان قسمت استفاده می‌کنیم. برای بی‌بعد سازی پاسخ دینامیکی نقطه میانی تیر، فرض می‌کنیم جرم نوسانگر به صورت استاتیکی به نقطه میانی تیر اعمال شود و خیز استاتیکی معادل را به دست می‌آوریم، سپس از تقسیم خیز دینامیکی در هر لحظه بر خیز استاتیکی محاسبه شده، پاسخ را به صورت نرمال شده خواهیم داشت [12].

### 5- بهینه‌سازی پارامترهای جاذب

یکی از موارد مهم در استفاده از جاذب‌های ارتعاشات طراحی بهینه پارامترهای آن است. چنان‌چه پارامترهای جاذب نامناسب باشند، وجود جاذب می‌تواند حتی می‌تواند سبب افزایش دامنه ارتعاشات شود. معیار مرسومی که در طراحی جاذب ارتعاشات برای تیرها مورد استفاده قرار می‌گیرد به کمترین رساندن دامنه ارتعاشات نقطه میانی تیر است. در این تحقیق با استفاده از جستجوی مستقیم پارامترها به تعیین مقادیر بهینه می‌پردازیم. مشابه این روش از پیش برای تعیین مقادیر بهینه پارامترهای جاذب‌های ارتعاشات از جمله جاذب غیرخطی متصل به یک سازه یک درجه آزادی [13] و تعیین پارامترهای جاذب خطی متصل به تیر تحت اثر بار متحرک ثابت [3] به کار رفته است. جاذب ارتعاشات تیر دارای چهار پارامتر جرم، سفتی فنر، ثابت میرایی دمپر و همچنین محل قرارگیری است. در طراحی جاذب‌ها، جرم جاذب پارامتری است که مقادیر سفتی فنر و ثابت میرایی دمپر براساس آن تعیین می‌شود. جرم جاذب نباید نسبت به جرم سازه اصلی خیلی کوچک باشد، زیرا در این صورت جاذب تأثیری در کاهش دامنه ارتعاشات ندارد، همچنین اگر جرم جاذب خیلی زیاد باشد سبب خیز استاتیکی زیادی در

$$\begin{aligned} -4\lambda^2 \sin(\lambda) \sinh(\lambda) + 4K\lambda \cos(\lambda) \sinh(\lambda) \\ -4K\lambda \sin(\lambda) \cosh(\lambda) + 2K^2 \cos(\lambda) \cosh(\lambda) \\ -2K^2 = 0 \end{aligned} \quad (17)$$

### 4- پاسخ دینامیکی

برای استخراج پاسخ دینامیکی تیر تحت اثر نوسانگر متحرک و دارای جاذب ارتعاشات از تئوری گسترش مودال استفاده می‌شود. زمانی که یک تیر تحت اثر ارتعاشات اجباری قرار می‌گیرد، با معلوم بودن توابع شکل مودهای نرمال ( $\phi_i$ ) و فرکانس‌های طبیعی آن، می‌توان پاسخ دینامیکی هر نقطه از تیر را در هر لحظه با استفاده از رابطه (18) تعیین کرد [2]:

$$y(x, t) = \sum_i q_i(t) \phi_i(x), \quad (18)$$

در رابطه (18)،  $i$  بیانگر شماره شکل مود است و  $q_i$  مختصات عمومی حرکت نامیده می‌شود که از رابطه (19) بدست می‌آید:

$$\ddot{q}_i(t) + \omega_i^2 q(t) = \frac{1}{M_i} \int_0^L F(x, t) \phi_i(x) dx \quad (19)$$

در رابطه (19)،  $M_i$  جرم عمومی سیستم است که با استفاده از رابطه (20) تعیین می‌شود:

$$M_i = \int_0^L m(x) \phi_i^2(x) dx \quad (20)$$

همچنین  $F(x, t)$  بیانگر نیروهای خارجی وارد بر سیستم است. در تیر مورد بررسی یک نیرو ناشی از نوسانگر متحرک و دیگری ناشی از وجود جاذب است. این نیروها در روابط (3.1) آمده‌اند. از جای گذاری این نیروها در معادله (19) رابطه (21) بدست می‌آید:

$$\begin{aligned} \ddot{q}_i(t) + \omega_i^2 q(t) = \frac{1}{M_i} [[k_o(z - y(\theta, t)) \\ + c_o(\dot{z} - \dot{y}(\theta, t)) - m_o g] H(L - \theta) \phi_i(\theta) + \\ k(s - y(a, t)) \phi_i(a) + c(\dot{s} - \dot{y}(a, t)) \phi_i(a)] \end{aligned} \quad (21)$$

در زمان استخراج پاسخ دینامیکی دو معادله دیگر وجود دارند که باید از آن‌ها استفاده شود. اولین معادله مربوط به جایه‌جایی جرم نوسانگر به صورت (22) است:

$$m_o \ddot{z} + c_o (\dot{z} - \dot{y}(\theta, t)) + k_o (z - y(\theta, t)) = 0 \quad (22)$$

دومین معادله هم مربوط به جایه‌جایی جرم جاذب به صورت (23) است:

$$m \ddot{s} + c (\dot{s} - \dot{y}(a, t)) + k (s - y(a, t)) = 0 \quad (23)$$

از جای گذاری رابطه (18) در روابط (23-21)، روابط (26-24) خواهیم داشت:

$$\begin{aligned} \ddot{q}_i(t) + \omega_i^2 q(t) = \frac{1}{M_i} [[k_o(z - \sum_r \phi_r(\theta) q_r) \\ + c_o(\dot{z} - \sum_r \phi_r(\theta) \dot{q}_r) - m_o g] H(L - \theta) \phi_i(\theta) \\ + k(s - \sum_r \phi_r(a) q_r) \phi_i(a) \\ + c(\dot{s} - \sum_r \phi_r(a) \dot{q}_r) \phi_i(a)] \end{aligned} \quad (24)$$

### 6- نتایج عددی

نخست برای بررسی صحت رابطه (17) در تعیین مقادیر ویژه ارتعاشات آزاد تیر سالم دارای تکیه‌گاه‌های الاستیک مشابه شکل ۱، مقایسه‌ای بین نتایج حاصل از حل عددی این معادله با حل بدست آمده از روش تجزیه ادومین [9] در جدول ۱ ارائه شده است که صحت نتایج را تأیید می‌کند.

برای بررسی صحت روابط در تعیین فرکانس‌های بی بعد ارتعاشات آزاد تیر دارای ترک، از فرکانس‌های تیر دو سر مفصل استفاده می‌کنیم. باید در معادلات شرایط مرزی  $K$  را برابر با صفر قرار دهیم. در جدول ۲ نسبت فرکانس تیر ترکدار به تیر سالم در مودهای اول و سوم برای عمق‌های مختلف ترک زمانی که که ترک در وسط تیر قرار دارد، با نتایج سایر محققین مقایسه شده است. در استخراج نتایج برای این قسمت مشابه مراجعی که برای صحت‌سنجی استفاده شده‌اند نسبت طول تیر به ارتفاع تیر برابر با ۳۶/۲۲ فرض شده است.

برای استخراج پاسخ دینامیکی مشخصات تیر را به صورت جدول ۳ درنظر می‌گیریم. پنج فرکانس طبیعی اول تیر مورد بررسی با استفاده از مطالب بخش ارتعاشات آزاد به صورت جدول ۴ بدست می‌آیند.

جدول ۱ مقایسه بین مقادیر ویژه بدست آمده با استفاده از معادله (17) و روش تجزیه ادومین [9].

مود دوم	مود اول	$K$
6/2989	3/1726	معادله (17)
6/2987	3/1726	[9]
7/0682	4/1556	معادله (17)
7/0677	4/1556	[9]
7/8376	4/7206	معادله (17)
7/8367	4/7206	[9]
		1000

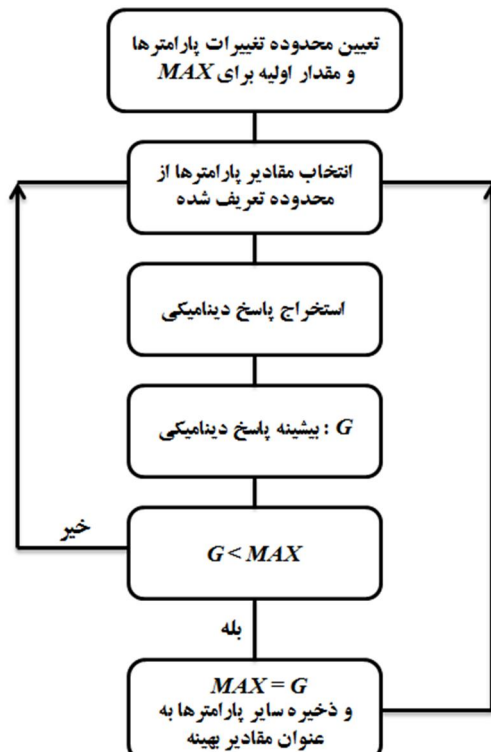
جدول ۲ مقایسه نسبت فرکانس تیر ترکدار به تیر سالم با نتایج سایر محققین در شرایط تکیه‌گاهی دو سرمهعلو

نسبت عمق	شماره مود	تیر	تحقیق حاضر	[14]	[15]
اول		ترک به			
سوم		ارتفاع تیر			
اول	0/983	0/984	0/984	0/984	0/986
0/25					0/986
اول	0/953	0/953	0/953	0/954	0/954
0/4	0/957	0/957	0/957	0/957	0/957

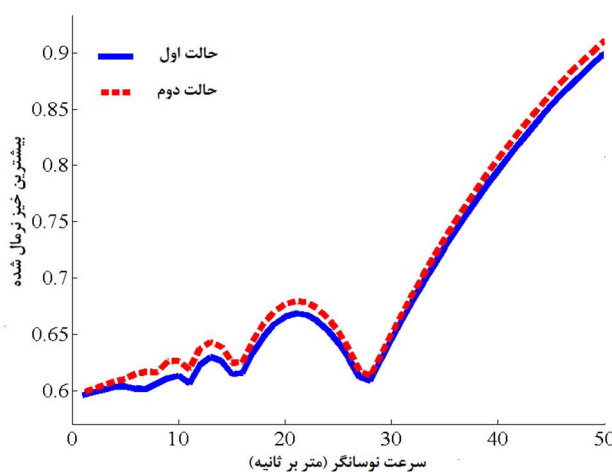
جدول ۳ مشخصات تیر مورد بررسی

کمیت	مقادیر
طول	30 متر
ارتفاع	0/8 متر
ضخامت	0/2 متر
چگالی	7800 کیلوگرم بر مترمکعب
مدول الاستیسیته	150 گیگا پاسکال
ضریب پواسون	0/3
ثابت فنرها پیچشی تکیه گاه	100 مگا نیوتون متر بر رادیان

سازه می‌شود و ممکن است سازه شکل مطلوب خود را از دست دهد به علاوه جرم خیلی زیاد ممکن است سبب تمرکز تنش بحرانی و ایجاد شکست در سازه شود. مروری بر تحقیقات صورت گرفته که در آن‌ها کنترل غیرفعال ارتعاشات با استفاده از حاذب خطی صورت پذیرفته است نشان می‌دهد جرم حاذب به کار رفته در حدود ۰/۰۷ تا ۰/۰۱ جرم سازه اصلی است [3]. جرم حاذب به صورتی که محدوده مجاز جرم را رعایت کند، پیش از فرایند بهینه‌سازی تعیین می‌شود. روند تعیین مقادیر بهینه در شکل ۲ آمده است. متغیرها شامل سفتی فنر، ثابت میرایی دمپر و همچنین محل قرارگیری حاذب است. تابع هدف دامنه ارتعاشات نقطه میانی تیر است که باید به کمترین مقدار ممکن برسد. ابتدا محدوده برای هر کدام از پارامترها در نظر گرفته می‌شود. این محدوده برای فنر به صورتی در نظر گرفته می‌شود که فرکانس طبیعی حاذب به صورت یک سیستم مجزا در محدوده پنج فرکانس طبیعی اول تیر باشد و برای دمپر به صورتی در نظر گرفته می‌شود که نسبت میرایی از یک کوچک‌تر باشد. پارامتری هم به نام مکس تعریف می‌شود که دارای یک مقدار اولیه است. این مقدار اولیه باید از مقدار دامنه ارتعاشات تیر زمانی که حاذب ارتعاشات وجود ندارد، بزرگ‌تر باشد. سپس برای هر پارامتر از محدوده تعريف شده یک عدد انتخاب می‌شود. با استفاده از پارامترهای انتخاب شده، پاسخ دینامیکی استخراج شده و مقدار بیشینه آن تعیین می‌شود. این مقدار بیشینه با پارامتر مکس مقایسه می‌شود، اگر مقدار بیشینه از پارامتر مکس کمتر باشد، این مقدار بیشینه به جای پارامتر مکس قرار داده می‌شود و همچنین مقادیر سایر پارامترها به عنوان مقادیر بهینه ذخیره می‌شوند. این روند برای تمام مقادیر در محدوده تعريف شده هر پارامتر و به صورت همزمان برای پارامترهای مختلف انجام می‌شود تا در نهایت مقادیر بهینه بدست آیند.



شکل ۲ روند الگوریتم بهینه‌سازی پارامترهای حاذب



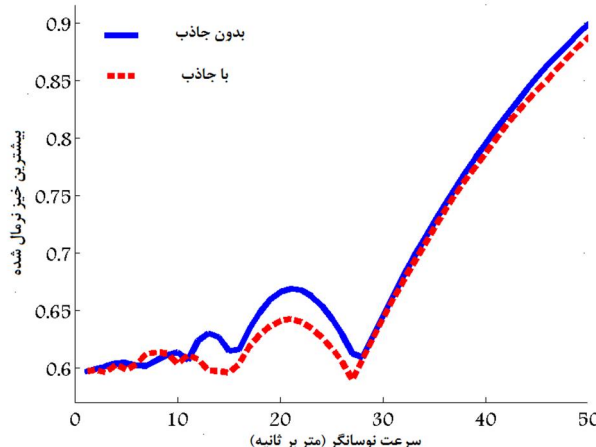
شکل 3 بیشترین خیز دینامیکی نرمال شده نقطه میانی تیر تحت نوسانگرهای مختلف

در شکل 4 اثر اضافه شدن جاذب بر بیشترین خیز دینامیکی نرمال شده نقطه میانی تیر آمده است. همان‌طور که از شکل دیده می‌شود در بیشتر سرعت‌ها افزودن جاذب سبب کاهش خیز دینامیکی شده است.

سرعت 21 متر بر ثانیه نوسانگر یک مقدار بحرانی برای سرعت است، چون در این سرعت بیشترین خیز دینامیکی نرمال شده نقطه میانی تیر دارای بیشینه محلی است. در این سرعت اثر اضافه شدن دمپر به جاذب در شکل 5 بررسی شده است. همان‌طور که دیده می‌شود با اضافه شدن ثابت میرایی جاذب خیز دینامیکی افزایش می‌یابد و کمترین مقدار خیز دینامیکی زمانی رخ می‌دهد که جاذب بدون دمپر باشد.

همچنین در شکل 6 اثر اضافه شدن جرم جاذب در سرعت 21 متر بر ثانیه بررسی شده است. برای هر جرم جاذب با استفاده از الگوریتم بهینه‌سازی پارامترهای بهینه جاذب استخراج شده‌اند و سپس بیشترین خیز دینامیکی نرمال شده نقطه میانی تیر با استفاده از مقادیر بهینه برای هر جرم رسم شده است. همان‌طور که دیده می‌شود با افزایش جرم جاذب بیشترین خیز دینامیکی نرمال شده نقطه میانی تیر کاهش می‌یابد.

اکنون می‌توانیم به بررسی اثر وقوع ترک در تیر تحت اثر نوسانگر متوجه دارای جاذب ارتعاشات بهینه پردازیم. دو حالت برای وقوع ترک در نظر گرفته شده است. محل وقوع و عمق ترک در این دو حالت در جدول 7 آمده است.



شکل 4 تأثیر جاذب بر بیشترین خیز دینامیکی نرمال شده نقطه میانی تیر در سرعت‌های مختلف

جدول 4 پنج فرکانس طبیعی اول تیر مورد بررسی

مود اول	مود دوم	مود سوم	مود چهارم	مود پنجم
282/5306	104/5856	48/7647	182/4814	14/7994

معیاری که برای طراحی بهینه جاذب در نظر گرفته می‌شود کاهش دامنه ارتعاشات نقطه میانی تیر است. ابتدا پاسخ نقطه میانی تیر بدون جاذب را برای سرعت‌های مختلف نوسانگر بدست می‌آوریم. برای پارامترهای نوسانگر دو حالت درنظر می‌گیریم و برای استخراج پاسخ دینامیکی پنج شکل مود اول تیر را درنظر می‌گیریم. در حالت اول یا A فرض می‌کنیم فرکانس طبیعی نوسانگر به صورت یک سیستم مجزا نزدیک به فرکانس طبیعی اول تیر مورد بررسی باشد. دلیل این که فرکانس نوسانگر نزدیک به فرکانس‌های فرد تیر درنظر گرفته شد، معیار بررسی ارتعاشات نقطه میانی تیر است، زیرا در اثر تحريك با فرکانس نزدیک به فرکانس زوج تیر، در نقطه میانی گره تشکیل می‌شود. پارامترهای مربوط به نوسانگر برای دو حالت براساس جدول 5 است که برای هر دو حالت جرم نوسانگر و نسبت میرایی یکسان درنظر گرفته شده است.

در شکل 3 بیشترین مقدار خیز نرمال شده نقطه میانی تیر برای سرعت‌های مختلف نوسانگر آمده است. همان‌طور که مشاهده می‌شود هرچند در حالتی که پارامترهای نوسانگر مشابه حالت B است، خیز نرمال شده نقطه میانی تیر اندکی بیشتر است، ولی نقاط بیشینه و کمینه محلی در سرعت‌های پیکانی رخ می‌دهند و می‌توان گفت مقادیر سرعت‌های بحرانی مستقل از پارامترهای نوسانگر است. همچنین برای سرعت‌های بیشتر از 28 متر بر ثانیه با افزایش سرعت به بیشترین مقدار خیز نرمال شده نقطه میانی تیر افزوده می‌شود، در حالی که در سرعت‌های کمتر از 28 متر بر ثانیه روند مشخصی برای تغییرات وجود ندارد. برای طراحی جاذب مشخصات نوسانگر را مشابه حالت اول یا A در نظر می‌گیریم. همان‌طور که گفته شد پارامتر اساسی در طراحی جاذب ارتعاشات جرم آن است، با توجه به این که جرم تیر بررسی شده 37440 کیلوگرم است، چنان‌چه جرم جاذب را 500 کیلوگرم درنظر بگیریم نسبت جرم جاذب به جرم تیر برابر با 0/013 است که در محدوده مناسب طراحی جرم جاذب قرار دارد. با توجه به مقادیر تعریف شده برای پارامترهای جاذب بهینه، با استفاده از الگوریتم عددی بیان شده به بهینه‌سازی پارامترهای جاذب می‌پردازیم. مقادیر بهینه پارامترهای جاذب حاصل از اجرای الگوریتم بهینه‌سازی در جدول 6 آمده‌اند.

جدول 5 پارامترهای مربوط به نوسانگر

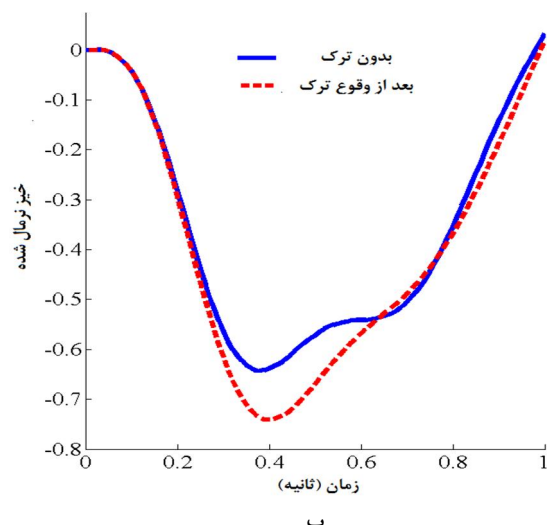
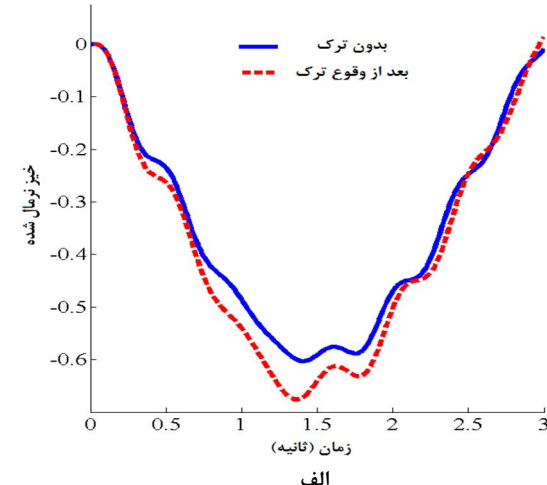
کمیت	حالت اول یا A	حالت دوم یا B
جرم نوسانگر (kg)	500	500
ثابت فنر (MN/m)	98	4050
ثابت میرایی (Ns/m)	155/4	1000
نسبت میرایی	0/0111	0/0111

جدول 6 مقادیر بهینه پارامترهای جاذب

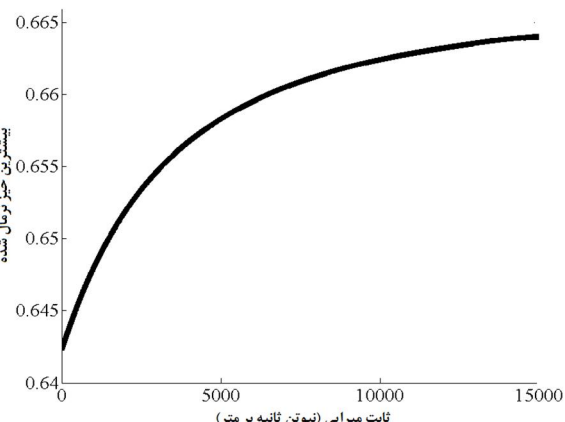
محل قرار گیری جاذب	سفتی فنر	ثابت میرایی
صفرا	112300	(x=15m) نیوتون بر متر

در شکل 8 اثر وقوع ترک حالت اول و در شکل 9 اثر وقوع ترک حالت دوم بر بیشترین خیز دینامیکی نرمال شده نقطه میانی تیر دارای جاذب بهینه برای سرعت‌های مختلف عبور نوسانگر آمده است. همان‌طور که دیده می‌شود در تمام سرعت‌ها بیشترین خیز دینامیکی نرمال شده نقطه میانی تیر افزایش یافته است. در ترک حالت اول با توجه به کمتر بودن عمق ترک، این افزایش چندان زیاد نیست در حالی که در حالت دوم افزایش بسیار بیشتر است. همچنین در حالت دوم مقادیر سرعت‌هایی که نمودار در آن‌ها دارای کمینه و بیشینه است به طور محسوسی تغییر یافته‌اند.

همان‌طور که در شکل‌های 9-8 مشاهده می‌شود وقوع ترک حالت دوم نسبت به ترک حالت اول تأثیر بسیاری براز دست رفتن کارایی جاذب دارد و در تمام سرعت‌ها خیز دینامیکی نرمال شده نقطه میانی تیر به مقادیر بسیار زیادی افزایش یافته است. در شکل 10 مقایسه‌ای بین خیز دینامیکی نرمال شده نقطه میانی تیر زمانی که ترک حالت دوم در آن رخ داده و جاذب بر تیر قرار ندارد و همچنین زمانی که جاذب بهینه شده برای تیر سالم بر آن قرار داده، انجام شده است. هنگامی که در تیر دارای ترک حالت دوم جاذب بهینه شده برای تیر سالم قرار داده می‌شود در بیشتر سرعت‌هایی تحریک نوسانگر خیز دینامیکی نرمال شده نقطه میانی تیر کاهش یافته است.

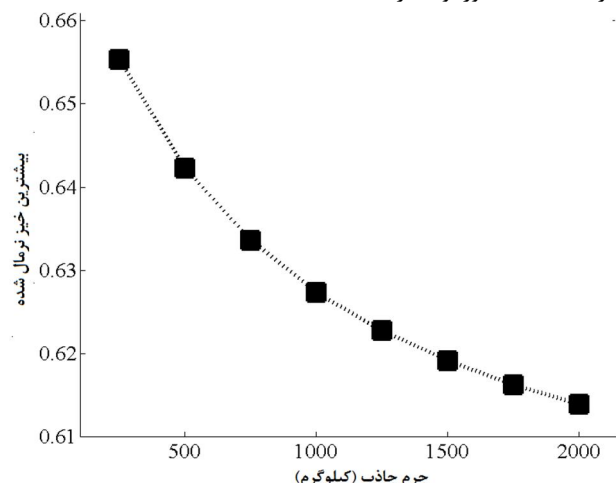


شکل 7 اثر وقوع ترک حالت دوم بر خیز نرمال شده نقطه میانی تیر، برای سرعت نوسانگر الف - 10 متر بر ثانیه، ب - 30 متر بر ثانیه



شکل 5 اثر اضافه شدن دمیر به جاذب بهینه بر بیشترین خیز دینامیکی نرمال شده نقطه میانی تیر در سرعت 21 متر بر ثانیه

پنج فرکانس طبیعی اول تیر مورد بررسی بدون جاذب دارای ترک با مشخصات جدول 7 در جدول 8 آمده است. زمانی که ترک در تیر رخ می‌دهد، بعد از عبور نوسانگر از روی تیر پاسخ دینامیکی نسبت به قبل از وقوع ترک کاملاً متفاوت خواهد بود. در شکل 7 خیز دینامیکی نرمال شده نقطه میانی تیر دارای جاذب بهینه قبل و بعد از وقوع ترک حالت دوم برای دو سرعت مختلف عبور نوسانگر آمده است.



شکل 6 اثر جرم جاذب بهینه بر بیشترین خیز دینامیکی نرمال شده نقطه میانی تیر در سرعت 21 متر بر ثانیه

جدول 7 پارامترهای ترک

حالت اول	حالت دوم	نسبت عمق ترک به ارتفاع تیر	محل وقوع ترک نسبت به تکیه گاه سمت چپ
ترک حالت اول 24 متر	ترک حالت دوم 12 متر	0/25 0/45	برای حالت اول 0/25 برای حالت دوم 0/45

جدول 8 پنج فرکانس طبیعی اول تیر مورد بررسی بعد از وقوع ترک مطابق جدول 7

حالت دوم	حالت اول	مود اول
14/2024	14/7741	مود اول
47/7629	48/1718	مود دوم
102/6241	103/1188	مود سوم
173/9048	181/4121	مود چهارم
282/5277	282/5241	مود پنجم

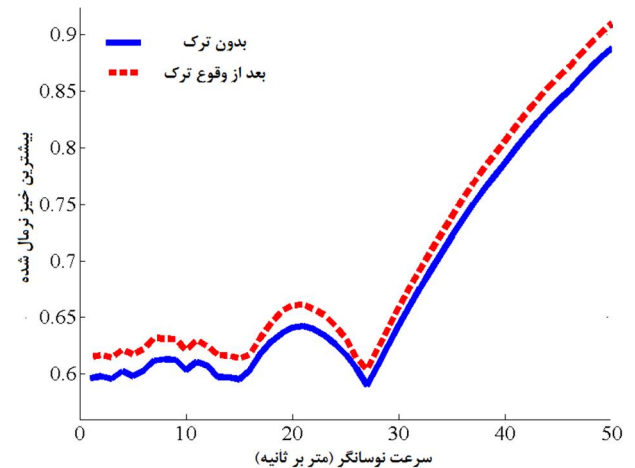
الاستیک به صورت مفصل - فنر پیچشی مورد بررسی قرار گرفت و یک معادله تحلیلی برای استخراج فرکانس‌های بی بعد به دست آمد، سپس پاسخ دینامیکی نقطه میانی تیر تحت سرعت‌های مختلف نوسانگر به دست آمد. نتایج نشان می‌دهند هنگامی که فرکانس ارتعاشی نوسانگر یک درجه آزادی به عنوان یک سیستم ارتعاشی مستقل نزدیک به یکی از فرکانس‌های طبیعی فرد تیر باشد، سرعت‌های بحرانی عبور بار مستقل از پارامترهای نوسانگر بوده و همواره دارای مقادیر ثابتی است.

برای طراحی جاذب بهینه از یک الگوریتم عددی مبتنی بر جستجوی مستقیم برای تعیین پارامترهای جاذب استفاده شد. نتایج نشان می‌دهد که جاذب بهینه بدون میرایی است و افزون میرایی به جاذب کارایی آن را می-کاهد، همچنین اثر جرم جاذب مورد بررسی قرار گرفت که نتایج نشان می-دهد جاذب با پارامترهای بهینه دارای جرم بیشتر کارایی بیشتری در کاهش خیز دینامیکی از خود نشان می‌دهند.

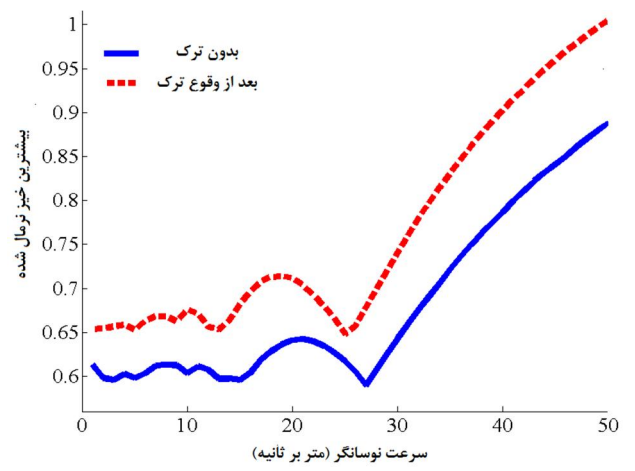
برای بررسی اثر ترک، فرکانس‌های طبیعی ارتعاشات تیر ترک دار داری تکیه‌گاه‌های الاستیک به دست آمد و اثر وقوع ترک با دو شدت مختلف بر فرکانس‌های طبیعی بررسی شد. سپس در هر یک از دو حالت، ترک در تیر دارای جاذب بهینه اعمال شد و پاسخ دینامیکی نقطه میانی تحت اثر سرعت-های مختلف نوسانگر به دست آمد. نتایج نشان می‌دهد با وقوع ترک خیز دینامیکی در تمام سرعت‌ها افزایش یافته و مقدار افزایش بسته به نوع ترک متفاوت است و جاذب کارایی خود را نسبت به پیش از وقوع ترک از دست می‌دهد. مقایسه‌ای میان پاسخ دینامیکی در یکی از حالات وقوع ترک، در حالی که جاذب روی تیر قرار ندارد و زمانی که جاذب بهینه شده برای تیر سالم روی آن قرار داده می‌شود، نشان می‌دهد جاذب در بیشتر سرعت‌ها سبب کاهش خیز دینامیکی نقطه میانی تیر شده است. بنابراین می‌توان بیان داشت جاذب بهینه شده برای تیر سالم پس از وقوع ترک و تغییر رفتار سازه، اگرچه نمی‌تواند مانع افزایش خیز دینامیکی در سرعت‌های مختلف شود ولی در بیشتر سرعت‌ها نسبت به زمانی که جاذب را از تیر دارای ترک حذف کنیم، سبب کاهش خیز دینامیکی می‌شود.

#### 8- مراجع

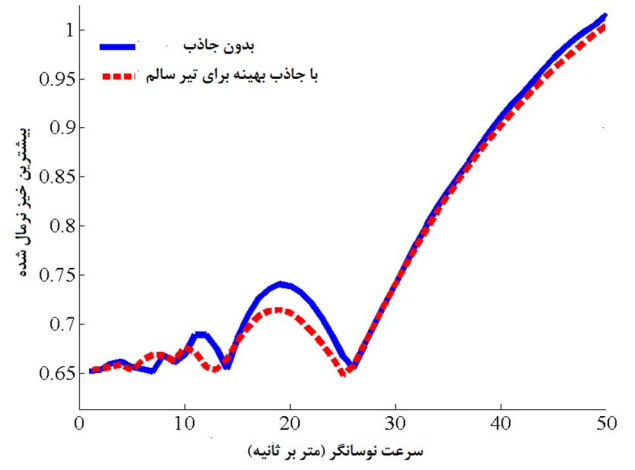
- [1] J. F. Wang, C. C. Lin, B. L. Chen, Vibration suppression for high-speed railway bridges using tuned mass damper, *International Journal of Solids and Structures*, Vol. 40, No. 2, pp. 465-491, 2013.
- [2] H. Moradi, F. Bakhtiari-Nejad, M. R. Movahhedy, Tuneable vibration absorber design to suppress vibrations: an application in boring manufacturing process, *Journal of Sound and Vibration*, Vol. 318, No. 2, pp. 93-108, 2008.
- [3] J. S. Issa, Vibration absorber for simply supported beams subjected to constant moving loads, *Journal of Multi-Body Dynamics*, Vol. 226, No. 4, pp. 398-404, 2012.
- [4] M. Rezaee, R. Hassannejad, Free vibration analysis of simply supported beam with breathing crack using perturbation method, *Acta Mechanica Solidia Sinica*, Vol. 29, No. 5, pp. 459-470, 2010.
- [5] A. D. Dimarogonas, Vibration of cracked structure: a state of the art review, *Engineering Fracture Mechanics*, Vol. 55, No. 5, pp. 831-857, 1996.
- [6] M. Rezaee, V. A. Maleki, Vibration analysis of a cracked pipe conveying fluid, *Modares Mechanical Engineering*, Vol. 12, No. 1, pp. 66-76, 2012. (In Persian)
- [7] S. Talebi, A. Ariaei, Vibration analysis of rotating tapered cantilever beams and their crack detection using genetic algorithm, *Modares Mechanical Engineering*, Vol. 13, No. 8, pp. 1-13, 2013. (In Persian)
- [8] C. K. Rao, S. Mirza, A note on vibration of generally restrained beams, *Journal of Sound and Vibration*, Vol. 130, No. 3, pp. 453-465, 1989.
- [9] H. Y. Lai, J. C. Hsu, C. K. Chen, An innovative eigenvalue problem solver for free vibration of Euler-Bernoulli beam by using the Adomian decomposition method, *Computers and Mathematics with Applications*, Vol. 56, No. 12, pp. 3204-3220, 2008.
- [10] H. Tada, P. Paris, G. Irwin, *The Stress Analysis of Cracks Handbook*, Second Ed., Missouri, 1985.



شکل 8 اثر وقوع ترک حالت اول بر بیشترین خیز دینامیکی نرمال شده نقطه میانی تیر در سرعت‌های مختلف



شکل 9 اثر وقوع ترک حالت دوم بر بیشترین خیز دینامیکی نرمال شده نقطه میانی تیر در سرعت‌های مختلف



شکل 10 اثر افزون جاذب بهینه شده برای تیر سالم به تیر داری ترک حالت دوم در سرعت‌های مختلف

#### 7- نتیجه گیری

در تحقیق حاضر جاذب بهینه برای تیر اویلر-برنولی دارای تکیه‌گاه‌های الاستیک تحت اثر نوسانگر متحرک طراحی شده و اثر ترک بر کارایی آن بررسی شد. برای این منظور ابتدا ارتعاشات آزاد تیر دارای تکیه‌گاه‌های

- [13] J. H. Koo, A. Shukla, M. Ahmadian, Dynamic performance analysis of non-linear tuned vibration absorber, *Communications in Nonlinear Science and Numerical Simulation*, Vol. 13, No. 9, pp. 1929-1937, 2008.
- [14] Y. Narkis, Identification of crack location in vibrating simply supported beams, *Journal of Sound and Vibration*, Vol. 172, No. 4, pp. 549-558, 1994.
- [15] X. Q. Zhu, S. S. Law, Wavelet-based crack identification of bridge beam from operational deflection time history, *International Journal of Solids and Structures*, Vol. 43, No. 8, pp. 2299-2317, 2006.
- [11] A. Khorram, F. Bakhtiari-Nejad, M. Rezaeian, Comparison studies between two wavelet based crack detection methods of a beam subjected to a moving load, *International Journal of Engineering Science*, Vol. 51, pp. 204-215, 2012.
- [12] M. H. Kargarnovin, M. T. Ahmadian, R. A. Jafari, Dynamic analysis of delaminated Timoshenko beam under one degree of freedom oscillator, in *the First International Conference on Acoustics and Vibration*, Tehran, Iran, 2011. (In Persian)